

جغرافیا و آمایش شهری - منطقه‌ای، شماره ۹، زمستان ۱۳۹۲

وصول مقاله: ۱۳۹۲/۳/۲۵

تأیید نهایی: ۱۳۹۲/۹/۲۰

صفحات: ۱۱۱ - ۱۲۱

مقایسه روش‌های مختلف رگرسیون دو متغیره در شناسایی رخساره‌های کویری بر اساس روابط مؤلفه‌های خاک با داده‌های ماهواره‌ای مورد شناسی: پلایای ابرکوه - استان یزد

دکتر رضا قضاوی^۱، زهره ابراهیمی خوسفی^۲، دکتر محمد رضا اختصاصی^۳، دکتر سید زین العابدین حسینی^۴

محسن ابراهیمی خوسفی^۵، دکتر محمد حسن زاده نفوتی^۶

چکیده

بررسی روابط بین پارامترهای مختلف خاک با داده‌های ماهواره‌ای گامی مؤثر در شناسایی و تفکیک رخساره‌های کویری است. در همین راستا، تحقیق حاضر با هدف بررسی روش‌های مختلف رگرسیون دو متغیره بر اساس روابط بین مؤلفه‌های مختلف خاک با داده‌های ماهواره‌ای سنجنده ASTER در شناسایی رخساره‌های پلایای ابرکوه مورد بررسی قرار گرفت. بدین منظور ابتدا از خاک سطحی پروفیل در منطقه مطالعاتی برداشت و در آزمایشگاه مقادیر EC, PH, درصد رطوبت اشباع و مقادیر کاتیون‌ها و آئیون‌های مربوط به هر نمونه اندازه‌گیری گردید. پس از انجام پردازش‌های لازم بر روی تصاویر ماهواره‌ای، با تعیین نقاط زمینی بر روی تصاویر، ارزش پیکسل-های نظیر نقاط زمینی در باندهای مختلف استخراج گردید. سپس رابطه بین داده‌های ماهواره‌ای و نتایج حاصل از آزمایش‌های خاک منطقه با استفاده از روش‌های مختلف رگرسیون دو متغیره خطی مورد ارزیابی قرار گرفت و دقت مدل‌ها با استفاده از فاکتورهایی نظری خطای تخمین و تأیید، مجدور میانگین مربعات خطأ، ضریب همبستگی و ضریب کارایی مورد ارزیابی قرار گرفت. یافته‌های پژوهش بیانگر دست یابی به مدل‌هایی با ضریب همبستگی کمینه ۴۵ درصد، خطای نسبی تخمین و تأیید بیشینه به ترتیب $\frac{۴}{۷}$ و $\frac{۷}{۲۴۸۹}$ ، مجموع میانگین مربعات خطای کمتر و ضریب کارایی کمینه ۱۹ درصد می‌باشد. همچنین نتایج این تحقیق نشان داد که هیچ گونه رابطه معنی داری بین میزان قلیایی بودن و درصد رطوبت اشباع با داده‌های ماهواره‌ای در منطقه مطالعاتی وجود ندارد.

کلید واژگان: رگرسیون دو متغیره، رخساره کویری، داده‌های ماهواره‌ای، مؤلفه‌های خاک، ASTER، پلایای ابرکوه.

Ghazavi@kashanu.ac.ir

zohre_ebrahimi@hotmail.com

۱- استادیار و عضو هیئت علمی دانشکده منابع طبیعی و علوم زمین، دانشگاه کاشان

۲- دانشجوی دکتری بیابان زدایی، دانشکده منابع طبیعی و علوم زمین، دانشگاه کاشان (نویسنده مسؤول)

۳- دانشیار و عضو هیئت علمی دانشکده منابع طبیعی دانشگاه بزد

۴- استادیار و عضو هیئت علمی دانشکده منابع طبیعی دانشگاه بزد

۵- دانشجوی دکتری سنجش از دور و سامانه اطلاعات جغرافیایی، دانشکده جغرافیا، دانشگاه تهران

۶- استادیار دانشکده منابع طبیعی، دانشگاه آزاد اسلامی، واحد میبد

خاک را اسکن می‌کنند در حالی که تمامی پروفیل خاک تحت تأثیر شوری می‌باشد؛ این محدودیت ضرورت استفاده از سایر تکنیک‌ها و داده‌ها را در مطالعه شوری مشخص می‌کند. آنها اظهار داشتند که ترکیب سنجش از دور با مدل‌سازی حرکت املاح و استفاده از روش‌های پیشرفتۀ ژئوفیزیکی (EM) به طور موفقیت‌آمیز برای پیشگویی و تعیین شوری به کار برده می‌شوند. تاج گردان و همکاران (۱۳۸۸) به منظور ارائه یک مدل برای تهیۀ نقشه شوری با استفاده از داده‌های ماهواره‌ای ETM+ و مقادیر شوری، از روش رگرسیون چندمتغیره و برای ارزیابی مدل‌ها از مقادیر ME و RMSE استفاده کردند. نتایج این پژوهش نشان داد که مقدار EC با باند^۴، مؤلفه‌های درخشندگی و سبزینگی خاک و مؤلفه حاصل از ادغام طیفی باند^۴ با باند پانکروماتیک دارای همبستگی معنی دار و دارای ضریب تبیین ۰/۴۴ می‌باشد. ریورو و همکاران (۲۰۰۷: ۴۳۴-۴۲۸) در تهیۀ نقشه تغییرپذیری فسفر خاک و مقایسه کارایی روش‌های زمین آماری و آماری به کمک داده‌های طیفی استاندارد بالا و تفاوت زیاد دامنه داده‌ها، مقادیر ME و RMSE بالایی به دست آوردند. هاتفی اردکانی (۱۳۸۹: ۹۹-۱۰۱) شناسایی نوع املاح رسوبات تبخیری را با تصاویر ASTER ارزیابی نمود و پس از آنالیزهای رگرسیونی بین داده‌های زمینی و ماهواره‌ای، شان داد که باندهای^۵ ۹ و ۶ همچنین باندهای ۲ و ۳ تصاویر ASTER به ترتیب برای شناسایی رسوبات گج و نمک مناسب می‌باشند و بدین ترتیب با این باندها مدلی را برای شناسایی این رسوبات معرفی کرده است. دشتکیان و همکاران (۱۳۸۷: ۱۴۵) از روش میانگین رگرسیون‌ها با باندهای استاندارد شده^۶ ۱، ۲ و ۳ طبقه-بندی حداقل احتمال، شاخص شوری (SI)^۷، شاخص شوری استاندارد شده (NDSI)^۸، با استفاده از داده‌های

مقدمه

فن‌آوری سنجش از دور و سامانه اطلاعات جغرافیایی از جمله ابزارهای نوینی هستند که دستیابی و استخراج اطلاعات بنیادین را برای مدیریت منابع طبیعی و توسعه‌پایدار میسر می‌سازند. از این داده‌ها می‌توان با کمترین هزینه و در کوتاه‌ترین زمان در طیف وسیعی از تحقیقات و پژوهش‌های منابع زمینی بهره برداری نمود. از طرف دیگر داده‌های ماهواره‌ای می‌توانند به سامانه اطلاعات جغرافیایی مرتبط گردد و این امر موجب کارآمد نمودن اطلاعات ماهواره‌ای برای برنامه ریزی و مدیریت می‌شود. مهاجر و همکاران (۱۳۸۸: ۸۳) برای تخمین ظرفیت تبادل کاتیونی خاک از روش رگرسیون و شبکه عصبی استفاده کردند. نتایج تحقیق آنها نشان داد که روش شبکه عصبی در مقایسه با رگرسیون، مدل‌هایی با ضریب تبیین بیشتر و مجدور میانگین مربعات خطأ کمتر تولید می‌کند. زارع (۱۳۸۸: ۵۸) و احمدی (۱۳۸۹: ۳۴) به ترتیب برای شناسایی خاک‌های شور منطقه سروستان و کویر طبیع از روش رگرسیون چند متغیره به روش گام به گام استفاده کردند. اکرسین و ارمی^۹ (۹۸۴: ۲۰۰۸)، در مطالعه خود بر روی دریاچه نمک آناتولیا در ترکیه برای تخمین مؤلفه EC^{۱۰} خاک از داده‌های ماهواره‌ای TM استفاده نمودند. آنها در تحقیق خود نشان دادند که افزایش تجمع نمک در سطح خاک رابطه معکوس خطی با ارزش‌های درخشندگی داده‌های ماهواره‌ای در ناحیه SWIR^{۱۱} (باندهای ۵ و ۷) و رابطه مستقیم خطی با ارزش‌های درخشندگی داده‌های ماهواره‌ای در نواحی مرئی و مادون قرمز نزدیک (باندهای ۱، ۲، ۳ و ۴) دارد. فریفته^{۱۲} و همکاران (۲۰۰۶: ۲۰۴) بیان داشتند که سنجش از دور در مطالعه خاک‌های شور، در شناسایی خاک‌های با شوری کم تا متوسط دارای محدودیت می‌باشد؛ از طرفی سنجنده‌ها تنها سطح

^۱ - Ekercin and Ormeci

^۲ - Electrical Conductivity

^۳ - Short Wave Infra Red

^۴ - Farifteh

^۵ - Salinity Index

^۶ - Normalized Difference Salinity Index

همکاران (۲۰۱۱: ۱۵۵۲) به منظور پایش شوری خاک دلتای رودخانه زرد در چین از تصاویر ابرطیفی و شاخص‌های پوشش گیاهی استفاده کردند. نتایج تحقیق آنها حاکی از ضریب تبیین ۰/۵۸ بین میزان هدایت الکتریکی خاک و شاخص شوری اصلاح شده و همچنین قابلیت بالای تصاویر ابرطیفی در پایش شوری خاک می‌باشد.

نظر به این که اغلب مطالعات برای پنهانه بندي اراضی شور، به بررسی رابطه داده‌های ماهواره‌ای با فاکتور هدایت الکتریکی به عنوان شاخص شوری و به روش رگرسیون چندمتغیره پرداخته‌اند و مطالعات اندکی در زمینه بررسی نقش کاتیون‌ها و آنیون‌ها با داده ماهواره‌ای و به روش رگرسیون دو متغیره به منظور تفکیک رخساره‌ها انجام شده، لذا هدف از تحقیق حاضر بررسی مدل‌های مختلف رگرسیون دو متغیره و یافتن مدل‌های بهینه هر یک از کاتیون‌ها و آنیون‌ها به منظور تفکیک رخساره‌ها در بخشی از پلایای ابرکوه می‌باشد.

منطقه مورد مطالعه

منطقه مورد مطالعه در شهرستان ابرکوه استان یزد و دارای مساحت ۸۷۴ کیلومتر مربع می‌باشد که در محدوده جغرافیایی ۳۰° تا ۵۲° و ۴۴° تا ۵۳° طول شرقی و ۳۰° تا ۴۱° عرض شمالی و در زون ۴۰ جغرافیایی قرار دارد. اقلیم منطقه گرم و خشک است و وجود رسوبات تبخیری یعنی تشکیلات گچی و نمکی همراه با رس شور از دیگر ویژگی‌های این کفه می‌باشد.

به منظور انجام تحقیق حاضر، از تصویر سنجنده ASTER متعلق به ۲ ژوئن سال ۲۰۰۶ میلادی و از تصاویر ETM+ زمین مرجع شده مربوط به تابستان ۲۰۰۵ جهت زمین مرجع نمودن تصویر ASTER استفاده شده است. از گیرنده GPS به منظور برداشت میدانی و از نرم افزار PCI_Geomatica8.1 و ENVI4.2 به منظور انجام پردازش‌های تصویری و از

مقایسه روش‌های مختلف رگرسیون دو متغیره در شناسایی رخساره‌های ...

ماهواره لندست برای تهیه نقشه شوری خاک در منطقه مروست استفاده کردند. گوتیرز و جانسون (۴۹: ۲۰) به استخراج اطلاعات مربوط به شوری اراضی شمال مکزیکو در تصویر لندست پرداختند و رفتار طیفی نواحی با شوری مختلف را مورد بررسی قرار دادند. در این تحقیق از تبدیل طیفی Tasseled cap، تجزیه مؤلفه‌های اصلی و نسبت گیری طیفی چندگانه استفاده شده است. کاستراد و همکاران (۲۰۰۵: ۹۵-۹۸) با استفاده از اطلاعات میدانی و دورسنجی، ۵ طبقه رخساره سطحی در حاشیه دریاچه مونگاروس شامل رخساره‌های آبی، زمین‌های پرآب، زمین‌های مرطوب، زمین‌های پوشش‌دار و زمین‌های لخت خشک را شناسایی کردند. در شناسایی این ۵ رخساره، از طبقه بندي نظارت نشده همراه با تفسیر طیف باندهای اصلی مرئی، تبدیل IHS و آنالیز مؤلفه‌های اصلی استفاده شده است.

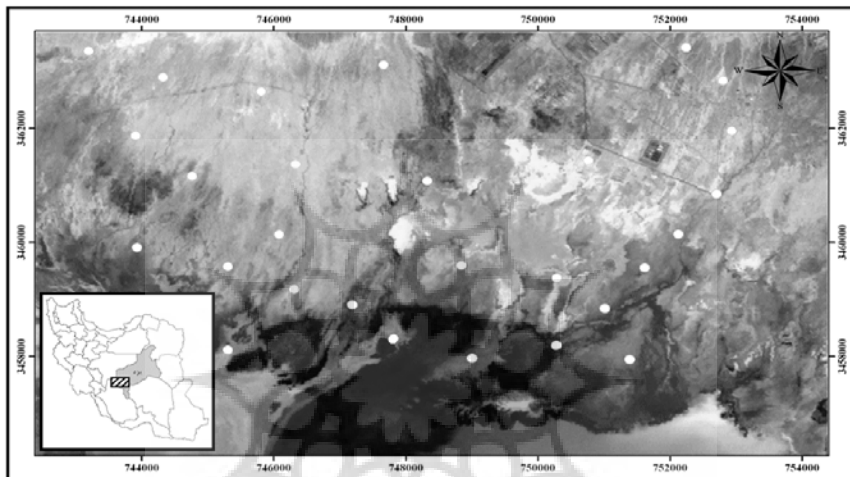
رضائی مقدم و ثقفی (۱۳۸۵: ۴۳) در مطالعه بر روی پلایای کهک در استان خراسان جنوبی، نشان داده‌های محدودیت‌های موجود در خصوص استفاده از داده‌های سنجش از دور به منظور تهیه نقشه از مناطق تحت تأثیر نمک به چگونگی رفتار طیفی انواع نمک‌های موجود، توزیع مکانی نمک‌ها برای سطح زمین، تغییرات زمانی شوری، پوشش گیاهی به عنوان مانع و اختلالات طیفی با سایر سطوح زمین بستگی دارد. در این تحقیق، روش‌هایی مانند عدم اختلال طیفی، طبقه بندي حداقل احتمال، نسبت موجود بین باندها و طبقه بندي فازی مورد بحث قرار گرفته‌اند و در نهایت تغییرات زمانی و مکانی شوری و نیز گسترش و توسعه پلایا با استفاده از ترکیب روش‌ها، تعیین شده است. خنامانی و همکاران (۱۳۹۰: ۲۵) به منظور ارزیابی وضعیت خاک دشت سگزی اصفهان، از فن آوری سنجش از دور و روش کریجینگ استفاده کردند. آنالیز آماری تحقیق آنها نشان داد که همبستگی معنی داری بین شاخص خاک و اطلاعات طیفی سبز و قرمز و شاخص درخشندگی وجود دارد. تینگ ژانگ و

مختصات نقاط نمونه برداری با استفاده از یک دستگاه GPS، مدل Etrex vista مدل CX جهت انتقال بر روی لایه‌های اطلاعاتی موجود در بانک اطلاعاتی ثبت گردید. پراکنش نقاط نمونه برداری در منطقه مطالعاتی در شکل (۱) نشان داده شده است.

نرم افزار SPSS به منظور انجام آنالیزها و محاسبات آماری استفاده شده است.

روش تحقیق

در این تحقیق به منظور اندازه گیری مقادیر مؤلفه‌های شوری خاک، ۳۰ پروفیل به شکل تصادفی در سطح پلایای کویر ابر کوه انتخاب و حفر گردید.



شکل ۱: منطقه مورد مطالعه در ایران و استان یزد به همراه موقعیت نقاط نمونه برداری

داده‌های ماهواره‌ای برای هر یک از باندها منظور گردید. این کار برای تمامی نقاط نمونه برداری شده در صحراء و برای تمامی باندهای مورد نظر در منطقه مورد مطالعه انجام گرفت. برای تهیه مدل‌های رگرسیونی از نتایج آنالیز خاک مربوط به هر نمونه و ارزش بازتاب طیفی استخراج شده از هر پروفیل استفاده شد. به همین منظور بانک اطلاعاتی داده‌های یاد شده، تهیه و سپس اقدام به تعیین انواع مدل‌های رگرسیونی دو متغیره در حالت‌های گوناگون خطی، لگاریتمی، معکوس، توانی، نمایی، درجه دو، درجه سه، منحنی رشد، ترکیبی و حالت S با کمک نرم افزار SPSS13 و به صورت ارائه شده در زیر مورد بررسی قرار گرفت.

نمونه‌های خاک پس از حمل به آزمایشگاه مورد تجزیه قرار گرفته و مقادیر مؤلفه‌های خاک پس از تجزیه آزمایشگاهی تعیین و ثبت شده و مقادیر مربوط به مؤلفه‌های Mg^{2+} , Ca^{2+} , K^+ , Na^+ , PH , SP , EC , HCO_3^- , Cl^- , SO_4^{2-} در تشکیل مدل‌های همبستگی (تخمین) مورد استفاده قرار گرفته است. سپس نسبت به تصحیح هندسی، انواع پردازش‌ها و تبدیل‌های طیفی تصویر سنجنده ASTER متعلق به ۲ زئون سال ۲۰۰۶ میلادی اقدام شد. پس از آن بر اساس مختصات طول و عرض جغرافیایی نقاط نمونه برداری ثبت شده با GPS یک وکتور نقطه‌ای ساخته شد و این لایه بر روی باندهای مختلف تصاویر ASTER قرار گرفت. میانگین اعداد مربوط به ۹ پیکسل هم‌جوار در هر نقطه به عنوان مقدار عددی

که در آن‌ها RE خطای نسبی به درصد، RMSE

مجذور میانگین مربعات خطا، \bar{Q}_o مقدار مشاهده‌ای

متغیر وابسته، \bar{Q}_e مقدار تخمینی متغیر وابسته،

ضریب کارایی، \bar{Q}_o میانگین مقادیر مشاهده‌ای، و n تعداد مشاهدات می‌باشد (Das ۲۰۰۰: ۲۹۸).

در نهایت، با جایگذاری باندهای مندرج در هر مدل K^+ , Na^+ , SP , EC , PH , SP , EC , Na^+ , K^+ , Mg^{2+} , Ca^{2+} , HCO_3^- , Cl^- , SO_4^{2-} اقدام شده است.

| | |
|--------------|----------------------------|
| مدل خطی | $[1] Y = b_0 + b_1 x$ |
| مدل لگاریتمی | $[2] Y = b_0 + b_1 \log x$ |
| مدل معکوس | $[3] Y = b_0 + b_1/x$ |

| | |
|---------------|---|
| مدل درجه دوم | $[4] Y = b_0 + b_1 x + b_2 x^2$ |
| مدل درجه سوم | $[5] Y = b_0 + b_1 x + b_2 x^2 + b_3 x^3$ |
| مدل ترکیبی | $[6] Y = b_0 b_1^x$ |
| مدل توانی | $[7] Y = b_0 x^{b_1}$ |
| مدل S شکل | $[8] Y = e^{b_0 + b_1/x}$ |
| مدل منحنی رشد | $[9] Y = e^{b_0 + b_1 x}$ |
| مدل نمایی | $[10] Y = b_0 e^{b_1 x}$ |

نتایج

نتایج مربوط به پارامترهای آماری نظیر مقادیر مینیمم و ماکزیمم، میانگین و انحراف معیار مؤلفه‌های SP , EC , PH , SP , EC , Na^+ , K^+ , Mg^{2+} , Ca^{2+} , HCO_3^- , Cl^- , SO_4^{2-} پس از تجزیه و تحلیل آزمایشگاهی در جدول (۱)، نتایج مربوط به برقراری مدل‌های رگرسیونی دو متغیره بین مقادیر مختلف مؤلفه‌های خاک و داده‌های ماهواره‌ای سنجنده ASTER در حالت‌های گوناگون خطی، لگاریتمی، معکوس، توانی، نمایی، درجه دو، درجه سه، منحنی رشد، ترکیبی و حالت S در جدول-های شماره (۲) تا (۱۰) و در نهایت نتایج مربوط به انتخاب بهترین مدل‌ها با در نظر گرفتن ضریب همبستگی و ضریب کارایی پایین‌تر و مقادیر مربوط خطای نسبی تخمین و تأیید و مجذور میانگین مربعات خطای پایین‌تر در جدول (۱) آمده است.

برای انجام مدل سازی، از دو سوم تصادفی داده‌ها برای مرحله تهیه مدل و از یک سوم باقی مانده به منظور تأیید مدل استفاده شد (معتمدنیا، ۱۳۸۸: ۱۸، صادقی، ۱۳۸۴: ۸۶، Green و ۱۹۸۶: ۳۹۸). به منظور دستیابی به مدل نهایی پیش‌بینی متغیر وابسته از معیارهای مهم ارزیابی خطای نسبی تخمین و تأیید، مجذور میانگین مربعات خطای ضریب همبستگی و در نهایت ضریب کارایی به صورت ارائه شده در روابط زیر استفاده شد. اعتبار نهایی مدل‌های به دست آمده با توجه به مقادیر قابل قبول خطای تخمین و تأیید کمتر، مقادیر مجذور میانگین مربعات خطای کوچک‌تر و ضریب کارایی بالاتر و نزدیک به یک ارزیابی گردید.

$$RE = \left| \frac{\bar{Q}_o - \bar{Q}_e}{\bar{Q}_o} \right| \times 100 \quad RMSE = \sqrt{\frac{\sum_{i=1}^n (\bar{Q}_o - \bar{Q}_e)^2}{n}}$$

$$CE = \frac{\frac{1}{n} \sum_{i=1}^n (\bar{Q}_o - \bar{Q}_e)^2 - \frac{1}{n} \sum_{i=1}^n (\bar{Q}_o - Q_e)^2}{\frac{1}{n} \sum_{i=1}^n (\bar{Q}_o - \bar{Q}_e)^2}$$

جدول ۱: مشخصات آماری داده‌های برداشت شده زمینی (نگارنده)

| Std. Deviation | mean | max | min | range | متغیر |
|----------------|---------|---------|-------|---------|-------|
| 9.2 | 30.2 | 54.2 | 12.2 | 42.0 | SP |
| 0.5 | 7.3 | 8.4 | 6.4 | 2.0 | PH |
| 134.4 | 381.2 | 543.2 | 67.0 | 476.2 | EC |
| 742.4 | 1,018.2 | 2,762.2 | 60.2 | 2,702.0 | SO4 |
| 10.4 | 6.1 | 57.0 | 1.0 | 56.0 | HCO3 |
| 1,372.4 | 3,494.7 | 5,000.0 | 640.0 | 4,360.0 | Cl |
| 1,839.9 | 4,069.2 | 6,739.1 | 450.3 | 6,288.8 | Na |
| 41.9 | 28.2 | 182.9 | 3.5 | 179.4 | K |
| 300.7 | 245.3 | 1,223.0 | 13.0 | 1,210.0 | Mg |
| 221.9 | 167.1 | 1,134.0 | 20.0 | 1,114.0 | Ca |

جدول ۲: پارامترهای آماری مربوط به ارزیابی روش‌های مختلف رگرسیون دو متغیره بین مقادیر بیکربنات خاک و داده‌های ماهواره‌ای (نگارنده)

| CE | RMSE | RE | | sig | R ² | نوع مدل | پارامتر |
|------|--------|--------|-------|-------|----------------|-----------|---------|
| | | تأثیر | تخمين | | | | |
| 0.33 | 573.2 | 375.3 | 114.5 | 0.008 | 0.33 | linear | SO4 |
| * | * | * | * | * | * | log | |
| * | * | * | * | * | * | inverse | |
| 0.35 | 565.6 | 387.6 | 92.2 | 0.027 | 0.347 | quadratic | |
| -7.9 | 2097.9 | 184.7 | 240.2 | 0.03 | 0.412 | cubic | |
| * | * | * | * | * | * | compound | |
| * | * | * | * | * | * | power | |
| * | * | * | * | * | * | S | |
| 0.05 | 681.7 | 238.06 | 84.3 | 0.003 | 0.398 | growth | |
| 0.04 | 682.6 | 253.9 | 88.19 | 0.003 | 0.397 | exp | |

جدول ۳: پارامترهای آماری مربوط به ارزیابی روش‌های مختلف رگرسیون دو متغیره بین مقادیر بیکربنات خاک و داده‌های ماهواره‌ای (نگارنده)

| CE | RMSE | RE | | sig | R ² | نوع مدل | پارامتر |
|-------|------|--------|-------|-------|----------------|---------|---------|
| | | تأثیر | تخمين | | | | |
| 0.2 | 4.06 | 1230.2 | 98.06 | 0.048 | 0.2 | linear | HCO3 |
| -0.07 | 4.7 | 126.4 | 51.98 | 0.048 | 0.2 | log | |
| 0.19 | 4.07 | 311.3 | 98.98 | 0.048 | 0.2 | inverse | |

جدول ۴: پارامترهای آماری مربوط به ارزیابی روش‌های مختلف رگرسیون دو متغیره بین مقادیر کلر خاک و داده‌های ماهواره‌ای (نگارنده)

| CE | RMSE | RE | | sig | R ² | نوع مدل | پارامتر |
|--------|--------|----------|-------|-------|----------------|-----------|---------|
| | | تأثیر | تخمين | | | | |
| 0.42 | 948.8 | 460147.1 | 29.98 | 0.002 | 0.42 | linear | CL |
| -0.037 | 1270.2 | 111.8 | 45.8 | 0.002 | 0.409 | log | |
| 0.39 | 969.2 | 112.17 | 31.56 | 0.003 | 0.396 | inverse | |
| 0.48 | 896 | 146.07 | 25.8 | 0.004 | 0.484 | quadratic | |
| 0.48 | 894.7 | 137.4 | 25.7 | 0.004 | 0.485 | cubic | |
| 0.28 | 1051.2 | 170.07 | 31.07 | 0.002 | 0.428 | compound | |
| 0.27 | 1065.1 | 316.7 | 30.86 | 0.002 | 0.411 | power | |
| 0.2 | 1107.6 | 1026.5 | 30.42 | 0.003 | 0.394 | S | |
| 0.25 | 1075.3 | 156.2 | 29.2 | 0.002 | 0.428 | growth | |
| 0.27 | 1068.4 | 176.2 | 32.5 | 0.002 | 0.428 | exp | |

جدول ۵: پارامترهای آماری مربوط به ارزیابی روش‌های مختلف رگرسیون دو متغیره بین مقادیر سدیم خاک و داده‌های ماهواره‌ای (نگارنده)

| CE | RMSE | RE | | sig | R ² | نوع مدل | پارامتر |
|-------|--------|-------|-------|-------|----------------|-----------|---------|
| | | تأیید | تخمین | | | | |
| 0.57 | 1086.9 | 223.6 | 40.2 | 0 | 0.568 | linear | Na |
| * | * | * | * | * | * | log | |
| 0.36 | 1323.4 | 150.9 | 59.03 | 0.005 | 0.36 | inverse | |
| 0.6 | 1043.8 | 186.6 | 43.8 | 0 | 0.602 | quadratic | |
| 0.62 | 1015.8 | 222.4 | 36.3 | 0.001 | 0.624 | cubic | |
| 0.32 | 1366.7 | 364.2 | 35.9 | 0 | 0.585 | compound | |
| * | * | * | * | * | * | power | |
| -0.1 | 1738.6 | 115.4 | 51.8 | 0.008 | 0.331 | S | |
| 0.29 | 1390.7 | 334.8 | 33.6 | 0 | 0.585 | growth | |
| -0.13 | 1762.4 | 370.8 | 66.5 | 0 | 0.585 | exp | |

جدول ۶: پارامترهای آماری مربوط به ارزیابی روش‌های مختلف رگرسیون دو متغیره بین مقادیر پتاسیم خاک و داده‌های ماهواره‌ای (نگارنده)

| CE | RMSE | RE | | sig | R ² | نوع مدل | پارامتر |
|--------|-------|---------|---------|-------|----------------|-----------|---------|
| | | تأیید | تخمین | | | | |
| 0.35 | 36.4 | 291.4 | 179.5 | 0.005 | 0.357 | linear | k |
| -14.1 | 176.9 | 1985.8 | 1581.2 | 0.005 | 0.367 | log | |
| 0.36 | 36.3 | 220.8 | 145.9 | 0.004 | 0.371 | inverse | |
| -440.4 | 954.8 | 12575.2 | 10336.6 | 0.016 | 0.385 | quadratic | |
| -67.14 | 375.1 | 4700.7 | 4009.8 | 0.015 | 0.389 | cubic | |
| -5120 | 3252 | 43018.2 | 33404.7 | 0.001 | 0.461 | compound | |
| 0.2 | 40.6 | 94.7 | 73.67 | 0.001 | 0.472 | power | |
| 0.22 | 39.98 | 101.4 | 79 | 0.001 | 0.477 | S | |
| 0.24 | 39.65 | 116.5 | 81.42 | 0.001 | 0.461 | growth | |
| 0.27 | 39.16 | 123.5 | 85.07 | 0.001 | 0.461 | exp | |

جدول ۷: پارامترهای آماری مربوط به ارزیابی روش‌های مختلف رگرسیون دو متغیره بین مقادیر کلسیم خاک و داده‌های ماهواره‌ای (نگارنده)

| CE | RMSE | RE | | sig | R ² | نوع مدل | پارامتر |
|---------|---------|---------|---------|-------|----------------|-----------|---------|
| | | تأیید | تخمین | | | | |
| -3290.4 | 14672.1 | 18334.5 | 27615.5 | 0.01 | 0.316 | linear | Ca |
| * | * | * | * | * | * | log | |
| 0.06 | 248 | 143.9 | 251.18 | 0.301 | 0.059 | inverse | |
| 0.37 | 202.3 | 129.6 | 142.5 | 0.019 | 0.374 | quadratic | |
| 0.37 | 202 | 145.4 | 140.9 | 0.051 | 0.376 | cubic | |
| -0.004 | 256.3 | 175.2 | 325.7 | 0.002 | 0.424 | compound | |
| * | * | * | * | * | * | power | |
| * | * | * | * | * | * | S | |
| 0.22 | 225.4 | 73.9 | 93.2 | 0.002 | 0.424 | growth | |
| -0.54 | 317.8 | 99.9 | 99.9 | 0.002 | 0.424 | exp | |

جدول ۸: پارامترهای آماری مربوط به ارزیابی روش‌های مختلف رگرسیون دو متغیره بین مقادیر منیزیم خاک و داده‌های ماهواره‌ای (نگارنده)

| CE | RMSE | RE | | sig | R ² | نوع مدل | پارامتر |
|-------|-------|--------|--------|-------|----------------|-----------|---------|
| | | تأیید | تخمین | | | | |
| 0.33 | 243 | 578.4 | 356.6 | 0.008 | 0.334 | linear | mg |
| -0.12 | 315.7 | 269.5 | 150.16 | 0.009 | 0.323 | log | |
| 0.31 | 247.1 | 670.2 | 363.3 | 0.01 | 0.312 | inverse | |
| 0.5 | 210.6 | 2618.6 | 251.2 | 0.003 | 0.5 | quadratic | |
| 0.51 | 209.1 | 2489.7 | 247.4 | 0.002 | 0.507 | cubic | |

جدول ۹: پارامترهای آماری مربوط به ارزیابی روش‌های مختلف رگرسیون دو متغیره بین مقادیر قایی‌بودن خاک و داده‌های ماهواره‌ای (نگارنده)

| CE | RMSE | RE | | sig | R ² | نوع مدل | پارامتر |
|---------|----------|----------|----------|-------|----------------|-----------|---------|
| | | تأیید | تخمین | | | | |
| -0.24 | 0.613 | 3.78 | 6.67 | 0.004 | 0.375 | linear | Ph |
| -1255.5 | 19.5 | 264.9 | 272.5 | 0.004 | 0.376 | log | |
| -0.24 | 0.61 | 3.8 | 6.7 | 0.004 | 0.378 | inverse | |
| -0.87 | 0.75 | 4.4 | 7.65 | 0.016 | 0.383 | quadratic | |
| -4.14 | 1.24 | 13.98 | 14.5 | 0.004 | 0.384 | cubic | |
| -0.36 | 0.64 | 3.7 | 0.86 | 0.004 | 0.376 | compound | |
| -0.31 | 0.63 | 3.56 | 6.9 | 0.004 | 0.378 | power | |
| -0.14 | 0.58 | 4.57 | 6.13 | 0.004 | 0.379 | S | |
| -0.16 | 0.59 | 4.86 | 6.11 | 0.004 | 0.376 | growth | |
| -177703 | 71191.67 | 559387.4 | 723073.9 | 0.004 | 0.376 | exp | |

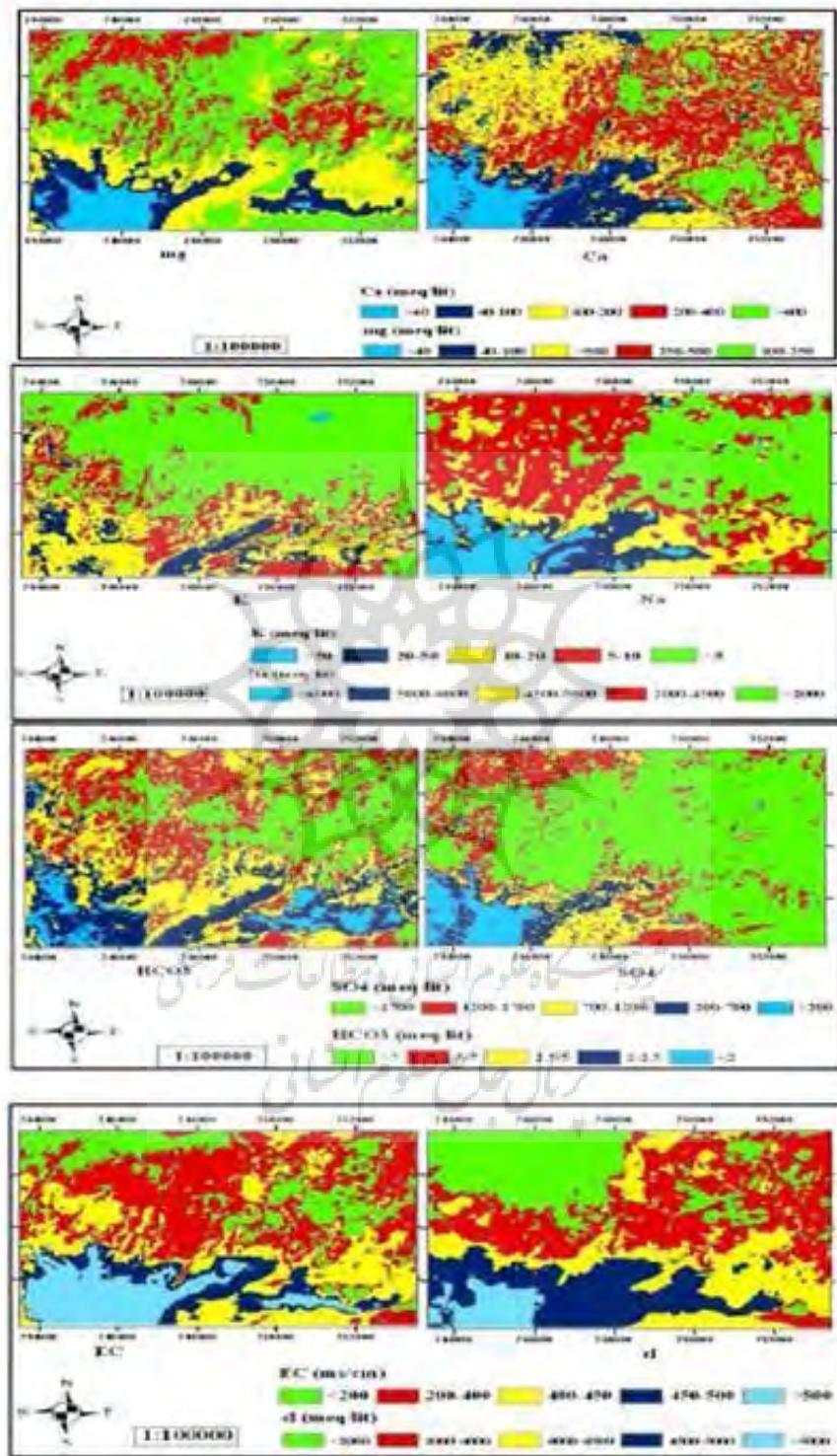
جدول ۱۰: پارامترهای آماری مربوط به ارزیابی روش‌های مختلف رگرسیون دو متغیره بین مقادیر شوری خاک و داده‌های ماهواره‌ای (نگارنده)

| CE | RMSE | RE | | sig | R ² | نوع مدل | پارامتر |
|------|-------|--------|-------|-------|----------------|-----------|---------|
| | | تأیید | تخمین | | | | |
| 0.64 | 72.5 | 113.5 | 19.5 | 0 | 0.63 | linear | EC |
| * | * | * | * | * | * | log | |
| * | * | * | * | * | * | inverse | |
| 0.81 | 68.8 | 108 | 21.29 | 0 | 0.671 | quadratic | |
| 0.67 | 68.9 | 109.7 | 19.5 | 0 | 0.72 | cubic | |
| 0.48 | 87 | 123.18 | 20.7 | 0 | 0.634 | compound | |
| * | * | * | * | * | * | power | |
| 0.11 | 114.3 | 109.3 | 30.7 | 0.007 | 0.341 | S | |
| 0.48 | 86.8 | 121.9 | 20.5 | 0 | 0.634 | growth | |
| 0.48 | 87 | 123 | 20.7 | 0 | 0.634 | exp | |

جدول ۱۱: مدل‌های بهینه مؤلفه‌های مختلف خاک-داده‌های ماهواره‌ای برای شناسایی رخساره‌ها در بخشی از پلایای ابرکوه (نگارنده)

| CE | RMSE | RE | | sig | R | R ² | نوع مدل | مدل | پارامتر |
|------|--------|--------|-------|-------|------|----------------|-----------|---|---------|
| | | تأیید | تخمین | | | | | | |
| 0.35 | 565.6 | 387.6 | 92.2 | 0.027 | 0.59 | 0.347 | quadratic | $612.5-60872.7^*PC2,123-856301.1^*(PC2,123)^2$ | SO4 |
| 0.19 | 4.07 | 311.3 | 98.98 | 0.048 | 0.45 | 0.2 | inverse | $46.9^*BR5/4-45.67$ | HCO3 |
| 0.48 | 896 | 146.07 | 25.8 | 0.004 | 0.7 | 0.484 | quadratic | $114753.6^*BR4/3-57549^*(BR4/3)^2-52665.6$ | CL |
| 0.57 | 1086.9 | 223.6 | 40.2 | 0.000 | 0.75 | 0.568 | linear | $(70.2^*(B2-B3)/(B2+B3))+7022.4$ | Na |
| 0.36 | 36.3 | 220.8 | 145.9 | 0.004 | 0.61 | 0.371 | inverse | $33.9/B9-147.9$ | K |
| 0.37 | 202.3 | 129.6 | 142.5 | 0.019 | 0.61 | 0.374 | quadratic | $569935^*(PC2,123)^2+27699.3^*PC2,123+364.6$ | Ca |
| 0.51 | 209.1 | 2489.7 | 247.4 | 0.002 | 0.71 | 0.507 | cubic | $(31594^*(BR4/5)^3)-(50404.3^*(BR4/5)^2)+ (0.001^*BR4/5)+19152.9$ | mg |
| * | * | * | * | * | * | * | * | * | Ph |
| * | * | * | * | * | * | * | * | * | SP |
| 0.81 | 68.8 | 108 | 21.29 | 0.000 | 0.82 | 0.671 | quadratic | $(-0.065^*(B2-B3)/(B2+B3)^2)-(0.696^*(B2-B3)/(B2+B3))+491.1$ | EC |

نقشه طبقات مربوط به مدل‌های بهینه پس از طبقه‌بندی به روش تفکیک تراکمی در شکل (۲) نشان داده شده است.



شکل ۲: نقشه طبقات سدیم، کلسیم، منیزیم، پتاسیم، سولفات، بیکربنات، کلر و EC مربوط به مدل‌های بهینه در پلایای ابرکوه (نگارنده)

ضریب کارایی مدل‌های سدیم، منیزیم و EC بالاتر از ۵۰٪ درصد می‌باشد، لذا می‌توان این گونه اذعان کرد که بر اساس مدل‌های مربوط به این مؤلفه‌ها با دقت بیشتری می‌توان نسبت به تفکیک و شناسایی رخساره‌ها اقدام کرد. گرچه همان گونه که قبلًا ذکر گردید با توجه به هدف تحقیق، سایر مدل‌های مندرج در جدول (۱۱) نیز با پذیرش سطح خطای بالاتر و ضریب تبیین و کارایی پایین‌تر قابل قبول می‌باشد.

همچنین بررسی مدل‌های بهینه ارایه شده در جدول (۱۱) حاکی از بازتاب مختلف کاتیون‌ها و آئیون‌های خاک در محدوده‌های طیفی مختلف است؛ به طوری که مقادیر سولفات و کلسیم خاک با مؤلفه دوم حاصل از تجزیه و تحلیل اجزای اصلی باندهای محدوده مرئی، مقادیر سدیم و شوری خاک با شاخص شوری استاندارد شده (NDSI) و مقادیر بیکربنات، کلر، پتاسیم و منیزیم خاک به ترتیب با نسبت باندهای ۵ به ۴، ۳ به ۶ و نسبت باند ۴ به ۵ بیشترین همبستگی و کمترین خطای را دارا هستند. بررسی کلی باندهای مذکور حاکی از نقش مؤثر باندهای محدوده طیفی مادون قرمز میانی سنجنده ASTER در شناسایی و تفکیک رخساره‌های منطقه مطالعاتی است.

نقشه تهیه شده مربوط به مؤلفه‌های مختلف شوری بر اساس مدل‌های بهینه (شکل ۲)، نیز حاکی از افزایش مقادیر EC و یون‌های سدیم، کلر، پتاسیم به سمت مرکز پلایا و افزایش یون‌های کلسیم، منیزیم، سولفات و بیکربنات به سمت بیرون پلایا است. شایان ذکر است که بر اساس نتایج تحقیق حاضر هیچ گونه رابطه معنی داری بین میزان قلیایی بودن و درصد رطوبت اشباع با داده‌های ماهواره‌ای در منطقه مطالعاتی برقرار نشد. بنابراین تفکیک رخساره‌ها در منطقه مطالعاتی بر اساس دو مؤلفه مذکور امکان پذیر نمی‌باشد.

در جمع بندی تحقیق حاضر با هدف بررسی مدل‌های بهینه به منظور تفکیک رخساره‌ها می‌توان اظهار نمود که عملکرد مدل‌های مختلف و شیوه‌های تجزیه و تحلیل آماری بسته به نوع متغیر مورد بررسی متفاوت

بحث و نتیجه گیری

به منظور انجام این پژوهش با هدف بررسی روش‌های مختلف رگرسیون دو متغیره، بر اساس روابط بین مؤلفه‌های مختلف خاک با داده‌های ماهواره‌ای سنجنده ASTER در شناسایی رخساره‌های کویری پلایایی ابرکوه، از داده‌های مربوط به آنالیز ۳۰ نمونه خاک و ارزش طیفی متناظر نقاط نمونه برداری استفاده گردید. روی هم رفته از ۹۰ مدل به دست آمده از مدل‌های رگرسیونی دو متغیره، ۸ مدل بهینه برای منطقه مطالعاتی انتخاب و در جدول (۱۱) ارائه شده است.

با توجه به جدول (۱۱) می‌توان استباط نمود که معادله‌های خطی، درجه دو، درجه سه و معکوس به منظور شناسایی و تفکیک رخساره‌های کویری پلایایی ابرکوه قابلیت کاربرد بیشتری دارند. از سوی دیگر، شکل کلی غالب مدل‌های به دست آمده بر ارتباط غیرخطی داده‌های ماهواره‌ای با مقادیر مربوط به مؤلفه‌های مختلف شوری خاک به جز متغیر سدیم دلالت دارد؛ گرچه استفاده از معادله خطی برای سایر متغیرها نیز با پذیرش سطح بیشتر خطای قابل استفاده است اما نظر به این که هدف، رسیدن به مدل‌های بهینه می‌باشد، لذا مدل‌هایی که از ضرایب کارایی و همبستگی بیشتر و خطای کمتری نسبت به سایر روش‌ها برخوردار می‌باشند، انتخاب و به کارگرفته می‌شوند. هم چنین با دقت در جداول (۲) تا (۱۰) ملاحظه می‌شود که بعضی از مدل‌ها با وجود ضریب همبستگی و ضریب کارایی پایین‌تر بر مدل‌های دیگر برتری دارند. دلیل این امر را می‌توان به منطقی بودن روابط موجود، قابلیت و کارایی استفاده از این مدل‌ها و همچنین سادگی آنها نسبت داد. مشاهده می‌شود که برخی از مدل‌ها از کارایی ظاهری بالایی برخوردارند که دلیل آن را می‌توان در نوسانات کم متغیر مورد نظر و یا خطای اندازه گیری مؤلفه‌های مذکور جست و جو نمود. مقادیر نسبتاً بالای RE و RMSE را نیز می‌توان به بالا بودن انحراف استاندارد و تغییرات شدید داده‌ها نسبت داد. نظر به این که ضریب تبیین و

- صادقی، س.ح.ر، مرادی، ح.ر، مزین، م. و وفاخواه، م. (۱۳۸۴). کارایی روش‌های گوناگون تجزیه و تحلیل آماری در مدلسازی بارش-رواناب (مطالعه موردی: حوزه آبخیز کسیلیان). مجله علوم کشاورزی و منابع طبیعی، ۳(۱۲)، ۸۱-۹۰.
- معتمدی، م و صادقی، ح.ر. (۱۳۸۸). تهیه و تحلیل سنجه دبی حوزه آبخیز جنگلی کجور در مقیاس‌های گوناگون زمانی. مجله علمی-پژوهشی علوم و مهندسی آبخیزداری ایران، ۹(۳)، ۱۷-۲۶.
- مهاجر، ر، صالحی، مح و بیگی هرچگانی، ح. (۱۳۸۸). «تخمین طرفیت تبادل کاتیونی خاک با استفاده از رگرسیون و شبکه عصبی و اثر تفکیک داده‌ها بر دقت و صحت توابع». علوم و فنون کشاورزی و منابع طبیعی، سال سیزدهم، شماره ۴۹.
- هانفی اردکانی، ح. (۱۳۸۹). شناسایی و تفکیک نوع املال رسوبات تبخیری با استفاده از داده‌های سنجش از دور، پایان‌نامه کارشناسی ارشد بیابان‌زدایی؛ دانشکده کویرشناسی دانشگاه سمنان.

- Castaneda, C., Herrero, J., (2005). "The Water Regime of the Monegros Playa-Lakes as Established from Ground and Satellite Data." Journal of Hydrology, 310: 95-110.
- Das, G. 2000. Hydrology and Soil Conservation Engineering Prentice-Hal of India Press.
- Ekercin, S. and C. Ormeci., (2008). "Estimating Soil Salinity Using Satellite Remote Sensing Data and Real-Time Field Sampling". Environmental Engineering Science, 25: 7.
- Farifteh, J., A. Farshad, R.,J. George., (2006). "Assessing salt-affected soils using remote sensing, Solute modeling and geophysics". Geoderma,130: 191-206
- Green, I.R.A. and Stephenson, D., (1986)." Criteria for Comparison of Single Event Mode". Hydrological Sciences Journal, 31:395-411.
- Gutierrez, M., Johns, E., (2010). "Temporal Variation of Natural Soil Salinity in an Arid Environment using Satellite Images", Journal of South American Earth Science, 73: 48-58.
- Rivero, R.G., Grunwald, S., and Bruland, G.L.(2007)." Incorporation of spectral data into multivariate geostatistical models to map soil phosphorus variability in a florida wetland", Geoderma,140: 428-443.
- Zhang, T., Zeng, S.L., Ouyang, Z.T., Fang, C., and Zhao, B. (2011). "Using hyper spectral vegetation indices as a proxy to monitor soil salinity", Ecological indicators, 11:1552-1562.

است و ضرورت انجام تحقیقات جدآگانه و دقیق و همچنین عدم تبعیت صرف از نتایج به دست آمده طی تحقیقات گذشته را ایجاب می‌نماید. از طرفی می‌توان اذعان نمود که انتخاب شیوه مناسب مدل سازی الزاماً با پیچیدگی روش و شیوه انتخاب شده همخوان نیست بلکه عملکرد موفق و یا برتر آن از جهات مختلف حائز توجه می‌باشد. به این ترتیب ضمن تأکید بر تداوم تحقیقات مشابه در سایر مناطق کویری و مقوله‌های مختلف پهنه بندی و تفکیک اراضی، انجام مطالعات گسترده‌تر و معرفی سایر شیوه‌های مدل سازی ریاضی از قبیل شبکه عصبی مصنوعی به منظور ارزیابی عملکرد آنها و نیز ارائه جمع بندی‌های جامع و نهایی پیشنهاد می‌شود.

منابع و مأخذ

- احمدی، ع. (۱۳۸۹). پهنه بندی رخساره‌های کویری پلایای طبس با استفاده از تکنیک سنجش از دور، پایان‌نامه کارشناسی ارشد، دانشکده منابع طبیعی، دانشگاه یزد.
- تاج گردان، ت، ایوبی، ش، شتابی، ش و خرمائی، ف. (۱۳۸۸). تهیه نقشه شوری خاک سطحی با استفاده از داده‌های دورسنجی ETM+، مجله پژوهش‌های حفاظت آب و خاک، جلد ۱۶، شماره ۲.
- خنامانی، ع.، جعفری، ر. سنگونی، ح. و شهبازی، ع. (۱۳۹۰.). ارزیابی وضعیت خاک با استفاده از فن آوری سنجش از دور و سیستم اطلاعات جغرافیایی؛ مطالعه موردی: دشت سگزی اصفهان، مجله علمی-پژوهشی کاربرد سنجش از دور و GIS در علوم منابع طبیعی، جلد ۲، شماره ۳.
- دشتکیان، ک. پاکپور، م، عبدالهی، ج. (۱۳۸۷). بررسی روش‌های تهیه نقشه شوری خاک با استفاده از داده‌های ماهواره‌ای لندست در منطقه مروست، فصلنامه علمی پژوهشی تحقیقات مرتع و بیابان، شماره ۲.
- رضایی مقدم، م.ح. ثقفی، م. (۱۳۸۵). بررسی تحولات رئومورفولوژیک پلایای کهک، استان خراسان جنوبی بر اساس روش‌های استفاده از تصاویر ماهواره‌ای و منطقه‌فازی، مجله جغرافیا و توسعه، شماره ۸.
- زارع، س. (۱۳۸۸). شناسایی خاک‌های شور منطقه سروستان با استفاده از تکنیک سنجش از دور، پایان‌نامه کارشناسی ارشد، دانشکده کشاورزی، دانشگاه شیراز.